OPTIMAL BEAMFORMING STRATEGIES AT MMWAVES FOR 5G+ NETWORKS

NANCY VARSHNEY

BHARTI SCHOOL OF TELECOMMUNICATION

INDIAN INSTITUTE OF TECHNOLOGY DELHI

APRIL 2023

OPTIMAL BEAMFORMING STRATEGIES AT MMWAVES FOR 5G+ NETWORKS

by

NANCY VARSHNEY

Bharti School of Telecommunication

Submitted
in fulfillment of the requirements of the degree of Doctor of Philosophy

to the

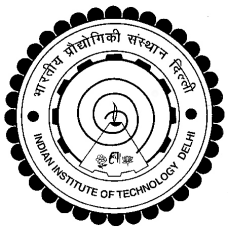

INDIAN INSTITUTE OF TECHNOLOGY DELHI

APRIL 2023

Certificate

This is to certify that the dissertation entitled **Optimal Beamforming Strategies at mmWaves for 5G+ Networks**, submitted by **Ms. Nancy Varshney**, a Research Scholar, in the *Bharti School Of Telecommunication*, *Indian Institute of Technology Delhi*, *New Delhi*, *India*, for the award of the degree of **Doctor of Philosophy**, is a record of an original research work carried out by her under my supervision and guidance. The dissertation fulfills all requirements as per the regulations of this Institute and in my opinion has reached the standard needed for submission. Neither this dissertation nor any part of it has been submitted for any degree or academic award elsewhere.

Prof. Swades De
(Supervisor)
Department of Electrical Engineering
Indian Institute of Technology Delhi
New Delhi, 110016, India.

Acknowledgements

First and foremost, thanks to the Almighty for showering his blessings on me that have helped in accomplishing this dissertation.

I would then like to express my sincere gratitude to my supervisor, Prof. Swades De, for giving me an opportunity to pursue Ph.D. at IIT Delhi. His passion for academia, discipline, and determination towards his work has always motivated me to work harder. His continuous guidance, valuable advice, and confidence in our pursued research work led to the fruition of this dissertation. It was a great privilege and honor to work under his supervision. I am extremely thankful to him for presenting me the opportunity to work as visiting scholar at Aalto University, Finland.

I would like to present my sincere gratitude to Prof. Riku Jäntii for his insightful advice during my research at Aalto University, Finland. I would then like to thank my committee members, Prof. Sheshan Srirangrajan, Prof. Prof. Aparna Mehra, and Prof. Arpan Chattopadhyay for their valuable suggestions that have helped address important aspects in this dissertation.

I take this opportunity to thanks Prof. K.V.S Srinivas from IIT (BHU) Varanasi for encouraging me to pursue career in research. I would like to thank my colleagues Dr. Suraj Suman, Dr. Vini Gupta, Mr. Ashutosh Balakrishnan, Ms. Ragini Jain, Ms. Kirandeep, and Dr. Farheen Chisti at IIT Delhi for their friendly support during this journey. I would also like to thank Dr. Reza Ghazalian at Aalto University, for having intellectual discussion that strengthened my research aptitude. I am grateful to all my seniors, lab-mates of the Communication Networks Research Group (CNRG), and friends at IIT Delhi, whose cooperation and encouragement have made this journey a memorable one.

Most importantly, I profoundly thanks my parents, Mr. Avdhesh Varshney and Mrs. Sarita Varshney, my brother Mr. Shubham Varshney, my sister-in-law Mrs. Nidhi Varshney and the other family members for their consistent support, and encouragement during my Ph.D. study. Without their constant support and inspiration, this acknowledgment and PhD dissertation would have never appeared. I am indebted to the sacrifices my parents

have made to shape my career and I dedicate this dissertation to them.

Nancy Varshney
(2018BSZ8118)

Abstract

Beyond fifth generation (5G+) communication aims to provide a 3-dimensional ubiquitous network to support high data rates caused by device proliferation. To aid 5G+ communications, three spectrum bands are being investigated: sub-6 GHz, millimeter-wave (mmWave), and terahertz frequencies. Higher frequency range has the advantage of increased bandwidth availability, but it also has its own set of challenges such as increased signal attenuation, reduced cell range, increased computational and hardware complexities, and increased hardware cost. However, substantial research has been conducted to demonstrate the feasibility of communication at higher frequencies. This dissertation focuses specifically on mmWave-enabled communications for serving users under different 2-dimensional as well as 3-dimensional network. The number of radio frequency (RF) chains that can be deployed at a device is a bottleneck in the mmWave range due to high hardware power consumption and hardware complexity. This, in turn, presents challenges in designing precoders and combiners, parameter estimation, signal processing, and user scheduling. Therefore, the objective of this dissertation is to investigate and design energy and spectrally efficient reduced complexity terrestrial and aerial mmWave communications frameworks/architectures with a limited number of RF chains.

The first topic investigates sectored-cell framework for a 2-dimensional multi-user terrestrial mmWave communications when the user population exceeds the number of RF chains available at the gNodeB. This framework is analyzed in the context of a single RF chain that serves all sectors of a cell in a round-robin manner with equal sector sojourn time. The idea is to partition the cell into identical sectors and serve multiple users simultaneously that fall within each sector at a given epoch using a single steerable beam generated from a uniform linear antenna array coupled to an RF chain at the gNodeB. Consequently, a large number of users are served with a limited number of RF chains. An optimization problem is formulated for combined resource allocation of orthogonal frequency division multiple (OFDM) symbols to users in a sector and sector beamwidth optimization in order to maximize average long-term user rate and system energy efficiency. Through simulation results, it is verified that serving multiple users over orthogonal frequency division multiple access with a single RF chain a sectored cell system model achieves better performance than serving single user per RF chain at a time. Additionally, the effect of localization error on the optimum beamwidth, which results from position estimation, is also studied.

The second part of the dissertation extends the study of the sectored-cell framework with a single RF chain to the case of multiple RF chains at gNodeB. Because of its low complexity, the sub-array based or partially connected hybrid precoder is considered, in which each RF chain, connected to a separate antenna array, generates one steerable beam. Notably, the presence of sidelobes causes inter-beam interference when concurrent beams are generated from multiple RF chains. Therefore, the optimal beamwidth is estimated while accounting for inter-beam interference and beam squint. Furthermore, an optimal number of RF chains at the gNodeB is estimated by accounting for power waste in RF units. A variable time frame structure for the sectored-cell framework is also proposed for a standalone mmWave communications system with variable transmission time interval units as short as one OFDM symbol long. The frame structure for enhanced mobile broadband (eMBB) services is typically made up of slots with a fixed number of OFDM symbols, and the smallest transmission time interval unit is equivalent to one slot duration, as defined by the 3rd Generation Partnership Project (3GPP) New Radio (NR) in Release 15. Furthermore, 3GPP guidelines have suggested a separate beam management phase for the initial gNodeB-user beam pair to establish the best gNodeB-user beam pair to be used for subsequent data transfer in data transmission mode. During the beam management phase, narrow beams must scan the area multiple times before granting users channel access. As a result, using a fixed frame structure along with separate beam management and data transmission phase causes significant initial access delays. Furthermore, because beam training overhead is often low for beam search operations, the wideband mmWave channel is underutilized during the beam training phase. Therefore, a modified sector-wise initial access procedure is proposed, which offers decreased initial access delay and increased bandwidth utilization. The proposed variable time frame structure, along with the modified initial access procedure, offers an improved average and the geometric mean of long-run user rates, especially in the case of non-homogeneous user distribution in the area.

The third part of the dissertation studies in detail the effect of beam squint in wideband mmWave communication. The beam squint effect is caused by the use of a large number of antenna elements connected per RF chain to generate a narrow beam in order to overcome high attenuation at mmWaves. The direction of maximum beam gain in beam squint varies with frequency. Based on this observation, a new reduced complexity joint OFDM resource allocation and beamforming strategy is proposed, which employs beam squint to maximize system performance using sub-array hybrid precoder at the transmit-

ter to serve a clustered user population greater than the number of RF chains. Numerical results demonstrate that the proposed sequence for designing RF precoder, baseband precoder, and subcarrier allocation using beam squint provides a greater increase in spectral efficiency at mmWaves than at sub-6 GHz.

The fourth part of the dissertation explores the feasibility of using an unmanned aerial vehicle (UAV) as a fronthaul unit at mmWaves and contrasts its performance with that at the sub-6 GHz range for ad hoc communication. The ideal user grouping method in a 3-dimensional environment with UAV-assisted mmWave communications is investigated for a system with a user population much higher than the number of RF chains available at the UAV. Similar to the analysis of multiple RF chains in terrestrial communication, multiple users per beam are served employing OFDMA. The optimal number of RF chains at the UAV is estimated to maximize the sum rate while satisfying minimum user rate specifications with a given UAV power constraint. Since UAV performance is constrained by battery size, so it is assumed that the UAV is equipped with a solar panel to harvest solar energy in order to increase operational hours. The effect of additional weight because of the solar panel on the performance of the UAV is also analyzed.

Finally, the dissertation's last part studies the feasibility of using an existing backscatter device infrastructure in an indoor environment to provide data support to an obstructed user at mmWaves. When in idle mode, the backscatter device is used to reflect the incoming signal to desired direction without modulating the data stream. This analogous to a distributed reconfigurable intelligent surface (RIS) system in which the tags acts as distributed RIS in indoor environment. Both users and backscatter devices in the mmWave range will have multiple antenna elements, increasing the system's complexity. The challenge, however, is to estimate the angle's direction using a single RF chain at the user. Therefore, a link establishment procedure is proposed that includes estimation of angle of arrival using the retro-reflective property of the antenna array, beamforming design at the user, and beamforming at the backscatter devices.

सार

पांचवीं पीढ़ी (5G+) से परे संचार का उद्देश्य 3-आयामी सर्वव्यापी प्रदान करना है उपकरण प्रसार के कारण उच्च डेटा दरों का समर्थन करने के लिए नेटवर्क। 5G+ की सहायता के लिए संचार, तीन स्पेक्ट्रम बैंड की जांच की जा रही है: उप-6 गीगाहर्ट्ज, मिलीमीटरवेव (mmWave), और टेराहर्ट्ज़ फ़्रीक्वेंसी। उच्च आवृत्ति रेंज का लाभ है बढ़ी हुई बैंडविड्थ उपलब्धता, लेकिन इसकी अपनी चुनौतियों का एक सेट भी है जैसे कि वृद्धि सिग्नल क्षीणन, कम सेल रेंज, कम्प्यूटेशनल और हार्डवेयर जटिलताओं में वृद्धि, और हार्डवेयर लागत में वृद्धि हुई। हालाँकि, पर्याप्त शोध किया गया है उच्च आवृत्तियों पर संचार की व्यवहार्यता प्रदर्शित करने के लिए। यह शोध प्रबंध विशेष रूप से अलग-अलग के तहत उपयोगकर्ताओं की सेवा के लिए एमएमवेव-सक्षम संचार पर ध्यान केंद्रित करता है 2-आयामी और साथ ही 3-आयामी नेटवर्क। रेडियो आवृत्ति की संख्या (आरएफ) श्रृंखलाएं जिन्हें डिवाइस पर तैनात किया जा सकता है, एमएमवेव रेंज में एक बाधा है उच्च हार्डवेयर बिजली की खपत और हार्डवेयर जटिलता के लिए। यह, बदले में, प्रस्तुत करता है प्रीकोडर और कंबाइनर डिजाइन करने में चुनौतियां, पैरामीटर अनुमान, सिग्नल प्रोसेसिंग, और उपयोगकर्ता शेड्यूलिंग। इसलिए, इस शोध प्रबंध का उद्देश्य जांच करना है और डिजाइन ऊर्जा और वर्णक्रमीय रूप से कुशल कम जटिलता स्थलीय और हवाई mmWave संचार ढांचे/आर्किटेक्चर सीमित संख्या में आरएफ श्रृंखलाओं के साथ।

पहला विषय द्वि-आयामी बहु-उपयोगकर्ता के लिए सेक्टर-सेल ढांचे की जांच करता है स्थलीय mmWave संचार जब उपयोगकर्ता जनसंख्या की संख्या से अधिक हो जीएनओडीबी पर उपलब्ध आरएफ चेन। इस ढांचे का विश्लेषण एक के संदर्भ में किया जाता है आरएफ श्रृंखला जो एक सेल के सभी क्षेत्रों को समान क्षेत्र के साथ राउंड-रॉबिन तरीके से सेवा प्रदान करती है ठहरने का समय। विचार यह है कि सेल को समान क्षेत्रों में विभाजित किया जाए और कई की सेवा की जाए एक साथ उपयोगकर्ता जो एक ही स्टीयरेबल का उपयोग करके किसी दिए गए युग में प्रत्येक क्षेत्र में आते हैं पर एक आरएफ श्रृंखला के लिए युग्मित एक समान रैखिक एंटीना सरणी से उत्पन्न बीम gNodeB. नतीजतन, बड़ी संख्या में उपयोगकर्ताओं को सीमित संख्या में आरएफ के साथ सेवा दी जाती है जंजीर। ऑर्थोगोनल के संयुक्त संसाधन आवंटन के लिए एक अनुकूलन समस्या तैयार की जाती है एक सेक्टर और सेक्टर में उपयोगकर्ताओं के लिए फ्रीक्वेंसी डिवीजन मल्टीपल (ओएफडीएम) प्रतीक औसत दीर्घकालिक उपयोगकर्ता दर और सिस्टम ऊर्जा को अधिकतम करने के लिए बीमविड्थ अनुकूलन क्षमता। सिमुलेशन परिणामों के माध्यम से, यह सत्यापित किया जाता है कि कई उपयोगकर्ताओं को

सेवा प्रदान की जा रही है ऑर्थोगोनल फ्रीक्वेंसी डिवीजन मल्टीपल एक्सेस एक सिंगल आरएफ चेन के साथ एक सेक्टर सेल सिस्टम मॉडल एक समय में प्रति आरएफ श्रृंखला एकल उपयोगकर्ता की सेवा से बेहतर प्रदर्शन प्राप्त करता है। इसके अतिरिक्त, इष्टतम बीमविड्थ पर स्थानीयकरण त्रुटि का प्रभाव, जिसके परिणामस्वरूप स्थिति अनुमान से भी अध्ययन किया जाता है।

शोध प्रबंध का दूसरा भाग सेक्टर-सेल ढांचे के अध्ययन का विस्तार करता है gNodeB पर एकाधिक RF श्रृंखलाओं के मामले में एकल RF श्रृंखला के साथ। इसके कम होने के कारण जटिलता, उप-सरणी आधारित या आंशिक रूप से जुड़े हाइब्रिड प्रीकोडर को माना जाता है जो प्रत्येक आरएफ श्रृंखला, एक अलग एंटीना सरणी से जुड़ा हुआ है, एक स्टीयरेबल बीम उत्पन्न करता है। विशेष रूप से, साइडलोब्स की उपस्थिति समवर्ती बीम के दौरान इंटर-बीम हस्तक्षेप का कारण बनती है कई आरएफ श्रृंखलाओं से उत्पन्न होते हैं। इसलिए, इष्टतम बीमविड्थ का अनुमान है इंटर-बीम हस्तक्षेप और बीम स्किंट के लिए लेखांकन करते समय। इसके अलावा, एक इष्टतम जीएनओडीबी में आरएफ श्रृंखलाओं की संख्या का अनुमान आरएफ में बिजली की बर्बादी के हिसाब से लगाया जाता है इकाइयों। सेक्टर-सेल ढांचे के लिए एक परिवर्तनीय समय सीमा संरचना भी प्रस्तावित है परिवर्तनीय संचरण समय अंतराल के साथ एक स्टैंडअलोन एमएमवेव संचार प्रणाली इकाइयां एक ओएफडीएम प्रतीक जितनी छोटी होती हैं। उन्नत मोबाइल के लिए फ्रेम संरचना ब्रॉडबैंड (eMBB) सेवाएं आमतौर पर निश्चित संख्या में OFDM वाले स्लॉट से बनी होती हैं प्रतीक, और सबसे छोटी संचरण समय अंतराल इकाई एक स्लॉट अवधि के बराबर है, रिलीज में तीसरी जनरेशन पार्टनरशिप प्रोजेक्ट (3GPP) न्यू रेडियो (NR) द्वारा परिभाषित के रूप में 15. इसके अलावा, 3GPP दिशानिर्देशों ने इसके लिए एक अलग बीम प्रबंधन चरण का सुझाव दिया है उपयोग किए जाने वाले सर्वोत्तम gNodeB-उपयोगकर्ता बीम जोड़ी को स्थापित करने के लिए प्रारंभिक gNodeB-उपयोगकर्ता बीम जोड़ी डेटा ट्रांसमिशन मोड में बाद के डेटा ट्रांसफर के लिए। बीम प्रबंधन के दौरान चरण, उपयोगकर्ताओं को चैनल देने से पहले संकीर्ण बीम को क्षेत्र को कई बार स्कैन करना चाहिए पहुँच। नतीजतन, अलग बीम प्रबंधन के साथ एक निश्चित फ्रेम संरचना का उपयोग करना और डेटा ट्रांसमिशन चरण महत्वपूर्ण प्रारंभिक पहुँच विलंब का कारण बनता है। इसके अलावा, क्योंकि बीम सर्च ऑपरेशंस, वाइडबैंड एमएमवेव के लिए बीम ट्रेनिंग ओवरहेड अक्सर कम होता है बीम प्रशिक्षण चरण के दौरान चैनल का कम उपयोग किया जाता है। इसलिए, एक संशोधित क्षेत्रवार प्रारंभिक पहुँच प्रक्रिया प्रस्तावित है, जो प्रारंभिक पहुँच विलंब को कम करती है और बैंडविड्थ उपयोग में वृद्धि। प्रस्तावित परिवर्तनीय समय सीमा संरचना, साथ में संशोधित प्रारंभिक पहुंच प्रक्रिया, एक बेहतर औसत और ज्यामितीय माध्य प्रदान करती है लंबी अवधि की उपयोगकर्ता दरों में, विशेष

रूप से गैर-सजातीय उपयोगकर्ता वितरण के मामले में क्षेत्र।

शोध प्रबंध के तीसरे भाग में वाइडबैंड में बीम स्क्विंट के प्रभाव का विस्तार से अध्ययन किया गया है एमएमवेव संचार। बीम स्क्विंट प्रभाव बड़ी संख्या के उपयोग के कारण होता है एक संकीर्ण बीम उत्पन्न करने के लिए प्रति आरएफ श्रृंखला से जुड़े एंटीना तत्वों की संख्या mmWaves पर उच्च क्षीणन पर काबू पाएं। बीम में अधिकतम बीम लाभ की दिशा भेंगापन आवृत्ति के साथ बदलता रहता है। इस अवलोकन के आधार पर, एक नया कम जटिल जोड़ओएफडीएम संसाधन आवंटन और बीमफॉर्मिंग रणनीति प्रस्तावित है, जो बीम को नियोजित करती है ट्रांसमीटर पर उप-सरणी हाइब्रिड प्रीकोडर का उपयोग करके सिस्टम प्रदर्शन को अधिकतम करने के लिए भेंगापन आरएफ श्रृंखलाओं की संख्या से अधिक संकुल उपयोगकर्ता आबादी की सेवा करने के लिए। न्यूमेरिकल परिणाम प्रदर्शित करते हैं कि आरएफ प्रीकोडर, बेसबैंड प्रीकोडर डिजाइन करने के लिए प्रस्तावित अनुक्रम, और बीम स्क्विंट का उपयोग करते हुए सबकैरियर आवंटन वर्णक्रमीय में अधिक वृद्धि प्रदान करता है उप -6 गीगाहर्ट्ज की तुलना में एमएमवेव्स पर दक्षता।

शोध प्रबंध का चौथा भाग मानव रहित हवाई का उपयोग करने की व्यवहार्यता की पड़ताल करता है mmWaves पर एक फ्रंटहॉल इकाई के रूप में वाहन (यूएवी) और उसके साथ इसके प्रदर्शन की तुलना करता है तदर्थ संचार के लिए उप-6 गीगाहर्ट्ज रेंज में। ए में आदर्श उपयोगकर्ता समूहीकरण विधि यूएवी-समर्थित एमएमवेव संचार के साथ 3-आयामी वातावरण की जांच की जाती है उपलब्ध आरएफ श्रृंखलाओं की संख्या की तुलना में बहुत अधिक उपयोगकर्ता आबादी वाली प्रणाली के लिए यूएवी। स्थलीय संचार में एकाधिक आरएफ श्रृंखलाओं के विश्लेषण के समान, एकाधिक प्रति बीम उपयोगकर्ताओं को OFDMA नियोजित किया जाता है। आरएफ श्रृंखलाओं की इष्टतम संख्या न्यूनतम उपयोगकर्ता दर विनिर्देशों को संतुष्ट करते हुए यूएवी को योग दर को अधिकतम करने का अनुमान है किसी दिए गए यूएवी पावर की कमी के साथ। चूंकि यूएवी का प्रदर्शन विवश है बैटरी का आकार, इसलिए यह माना जाता है कि यूएवी सौर फसल के लिए सौर पैनल से लैस है परिचालन घंटे बढ़ाने के लिए ऊर्जा। अतिरिक्त वजन के प्रभाव के कारण यूएवी के प्रदर्शन पर सौर पैनल का भी विश्लेषण किया जाता है।

अंत में, निबंध का अंतिम भाग मौजूदा बैकस्कैटर का उपयोग करने की व्यवहार्यता का अध्ययन करता है किसी बाधित को डेटा समर्थन प्रदान करने के लिए एक इनडोर वातावरण में उपकरण अवसंरचना एमएमवेव्स पर उपयोगकर्ता। निष्क्रिय मोड में होने पर, बैकस्कैटर डिवाइस का उपयोग इनकमिंग को दर्शाने के लिए किया जाता है डेटा स्ट्रीम को संशोधित किए बिना वांछित दिशा में संकेत।

यह ए के अनुरूप है वितरित पुनर्विन्यास योग्य बुद्धिमान सतह (आरआईएस) प्रणाली जिसमें टैग वितरित के रूप में कार्य करता है इनडोर वातावरण में आरआईएस। mmWave में उपयोगकर्ता और बैकस्कैटर डिवाइस दोनों रेंज में कई एंटेना तत्व होंगे, जो सिस्टम की जटिलता को बढ़ाएंगे। चुनौती, हालाँकि, उपयोगकर्ता पर एकल RF श्रृंखला का उपयोग करके कोण की दिशा का अनुमान लगाना है। इसलिए, एक लिंक स्थापना प्रक्रिया प्रस्तावित है जिसमें कोण का अनुमान शामिल है ऐन्टेना ऐरे के रेट्रो-रिफ्लेक्टिव गुण का उपयोग करते हुए, बीमफॉर्मिंग डिज़ाइन पर उपयोगकर्ता, और बैकस्कैटर उपकरणों पर बीमफॉर्मिंग।

Contents

List of Figures

List of Tables

List of Symbols

$\mathbf{a} \in \mathbb{R}^{N \times 1}$	A real vector of size $N \times 1$
$\mathbf{A} \in \mathbb{R}^{M \times N}$	A real-valued matrix of size $M \times N$
$\mathbf{0}_{M \times N}$	$M \times N$ matrix of zeros
$\boldsymbol{I}_N$	$N \times N$ identity matrix
$\mathbf{A}_{m,n}$	$(m,n)^{th}$ element of the matrix $\mathbf{A}$
$\text{Tr}\{\mathbf{A}\}$	Trace of the matrix $\mathbf{A}$
$\mathbf{a}[m]$	m^{th} element of the vector $\mathbf{a}$
$\|\mathbf{a}\|_2$	Standard l_2-norm of the vector $\mathbf{a}$
$(\cdot)^T$	Transpose of the vector/matrix
$(\cdot)^H$	Transpose of the vector/matrix
$(\cdot)^\dagger$	Moore-Penrose pseudo inverse of the vector/matrix
$\text{diag}(\cdot)$	Standard diagonalization operation on a vector
$\|\cdot\|$	Cardinality operation
$\bigcup$	Set union operation
dom f	Domain of the function f
$\mathcal{O}$	Algorithm run-time complexity
$\mathcal{L}(\cdot)$	Lagrangian operator

List of Abbreviations

mmWave	Millimeter Wave
5G+	Beyond 5th Generation
RF	Radio Frequency
OFDM	Orthogonal Frequency Division Multiplexing
OFDMA	Orthogonal Frequency Division Multiple Access
eMBB	enhanced Mobile Broadband
NR	New Radio
UAV	Unmanned Aerial Vehicle
RIS	Reconfigurable Intelligent Surface
WLAN	Wireless Local Area Network
UE	User Equipment
gNB	gNodeB
LoS	Line-of-Sight
SNR	Signal-to-Noise Ratio
ADC	Analog-to-Digital Converter
DAC	Digital-to-Analog Converter
SDMA	Spatial Division Multiplexing
MIMO	Multiple-Input-Multiple-Output
JSDM	Joint Spatial Division Multiplexing
WMMSE	Wegihted Minimum Mean Squared Error
MPC	Multi Path Component
CSI	Channel State Information
SVD	Singular Value Decomposition
ML	Maximum Likelihood
AoA	Angle-of-Arrival
DFT	Discrete Fourier Transform

MUSIC	MUltiple Signal Classification
TTI	Transmission Time Interval
3GPP	3rd Generation Partnership Project
HPBW	Half Power BeamWidth
IA	Initial Access
EIRP	Effective Isotropic Radiated Power
GPS	Global Positioning System
ToA	Time-of-Arrival
QoS	Quality-of-Service
2-D	2-Dimensional
ULA	Uniform Linear Array
NLoS	Non Line-of-Sight
NP	Non-deterministic Polynomial time
KKT	Karush-Kuhn-Tucker
MOP	Multi-objective Optimization Problem
SOP	Single-objective Optimization Problem
FNBW	First Null BeamWidth
EAoA	Effective AoA
CRLB	Cramér-Rao Lower Bound
FIM	Fisher Information Matrix
PEB	Position Error Bound
SA	StandAlone
NSA	Non-StandAlone
UL	UpLink
DL	DownLink
TDMA	Time Division Multiple Access

UMi	Uran-Micro
WRR	Weighted Round Robinn
SS	Synchronization Signal
RACH	Random Access CHannel
PRACH	Physical Random Access CHannel
RAR	Random Acceess Response
PDCCH	Physical Downlink Control CHannel
PUCCH	Physical Uplink Control CHannel
IAD	Initial Access Delay
IUI	Inter-User Interference
s.t.	such that
UPA	Uniform Planar Array
ZF	Zero-Forcing
MMSE	Minimum Mean Squared Error
PV	PhotoVoltaic
AP	Access Point
OMP	Orthogonal Matching Pursuit
AEB	Angle Error Bound
RMSE	Root Mean Squared Error